

# 复合氧化物 $\text{La}_2\text{O}_3 \cdot 4\text{PbO}$ 的标准生成自由能<sup>①</sup>

翟玉春 佟树勋 王宝莲

(东北大学有色金属冶金系, 沈阳 110006)

**摘要** 用  $\text{ZrO}_2(\text{Y}_2\text{O}_3)$  固体电解质构成电池:  $\text{Pb}, \text{La}_2\text{O}_3, \text{La}_2\text{O}_3 \cdot 4\text{PbO} | \text{ZrO}_2(\text{Y}_2\text{O}_3) | \text{Pb}, \text{PbO}$ , 以铁丝做电极引线, 测定了复合氧化物  $\text{La}_2\text{O}_3 \cdot 4\text{PbO}$  在  $873 \sim 1153\text{ K}$  温度区间的标准生成自由能  $\Delta G^\circ = -202\,000 + 114T (\text{J/mol})$ 。

**关键词** 固体电解质 复合氧化物 标准生成自由能

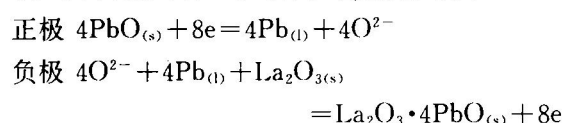
稀土复合氧化物具有许多特殊性质, 应用越来越多。研究稀土复合氧化物的热力学性质对于其制备和应用具有重要意义。 $\text{La}_2\text{O}_3\text{-PbO}$  体系的相图已被测定<sup>[1]</sup>, 该体系存在一个稳定的复合氧化物  $\text{La}_2\text{O}_3 \cdot 4\text{PbO}$ , 但至今未见测定其标准生成自由能的报道。本工作采用固体电解质构成原电池测定  $\text{La}_2\text{O}_3 \cdot 4\text{PbO}$  的标准生成自由能, 这对于了解该体系的热力学性质具有重要意义。

## 1 实验

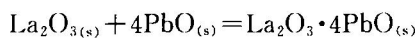
### 1.1 原理

图1给出了  $\text{La}_2\text{O}_3\text{-PbO}$  体系的相图<sup>[1]</sup>, 由图可见该体系仅存的一个复合氧化物  $\text{La}_2\text{O}_3 \cdot 4\text{PbO}$  与  $\text{La}_2\text{O}_3$  和  $\text{PbO}$  平衡共存。 $\text{La}_2\text{O}_3$  比  $\text{PbO}$  稳定, 所以本实验采用  $\text{ZrO}_2(\text{Y}_2\text{O}_3)$  固体电解质构成如下电池:

$\text{Pb}, \text{La}_2\text{O}_3, \text{La}_2\text{O}_3 \cdot 4\text{PbO} | \text{ZrO}_2(\text{Y}_2\text{O}_3) | \text{Pb}, \text{PbO}$  用铁丝做电极引线; 为避免 Fe 与  $\text{PbO}$  作用, 铁丝外面套上细  $\text{Al}_2\text{O}_3$  管。电极反应为:



电池反应为:



此即复合氧化物  $\text{La}_2\text{O}_3 \cdot 4\text{PbO}$  的生成反应。由于各物质均为纯物质, 活度为1, 所以由能斯特方程可得  $\text{La}_2\text{O}_3 \cdot 4\text{PbO}$  的标准生成自由能为:

$$\Delta G^\circ = -8FE \quad (1)$$

式中  $F$  为法拉第常数;  $E$  为可逆电池电动势。测得  $E$  即可算得  $\Delta G^\circ$ 。

### 1.2 原料

所用原料  $\text{PbO}$  的纯度大于 99.9%,  $\text{La}_2\text{O}_3$  的纯度大于 99.9%。将  $\text{La}_2\text{O}_3$  和  $\text{PbO}$  粉末按化学配比称量,  $\text{La}_2\text{O}_3$  稍过量, 混合并充分研磨

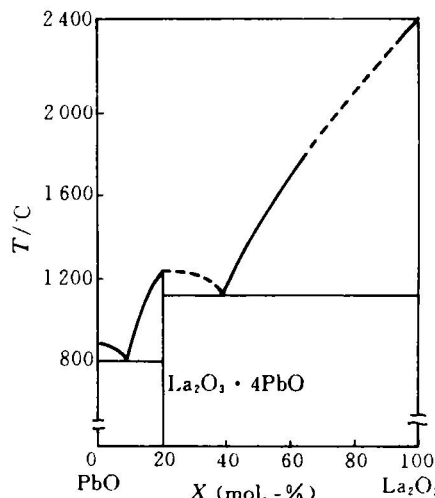


图1  $\text{La}_2\text{O}_3\text{-PbO}$  体系相图

① 收稿日期: 1993-10-26; 修回日期: 1994-02-18

后压片。将压片置于炉内，空气中100℃烘24 h 脱水，650℃烧24 h，最后升至825℃烧225 h。经X射线衍射分析表明该产物确系 $\text{La}_2\text{O}_3 \cdot 4\text{PbO}$ 。

### 1.3 设备

实验用硅碳管发热体炉。炉管为高铝管，恒温带长60 mm，区间内温度变化不大于±1℃，径向温场分布为±1℃。炉温用PtRh-Pt热电偶配DWK-702型自动控温仪控温，控温精度±0.5℃。测温用PtRh-Pt热电偶配UJ-31型电位差计。电池电动势测量用PHS-2型酸度计，其输入阻抗大于 $10^{12}\Omega$ ，配XWT-264型台式平衡记录仪记录，精度为±1 mV。电池结构如图2所示。

### 1.4 实验过程

组装好的电池置于炉内，为避免干扰实施了屏蔽。实验过程中从炉子底部向炉内通入净化的氩气保护电极引线。为使平衡易于达到，从高温开始测量，每隔一定的温度测一个点。达到设定温度后，恒温直到电动势平稳，波动在±1 mV之内读数。每次读数前，电池都经两极短路和用1.5 V干电池充电极化，确认电池电动势的可逆性。电池的短路和充电极化曲线如图3。经极化后，电池的电动势很快恢复原值，记录下此时的电动势值作为该温度下的平衡值。

实验结束后，剖开电池，电解质管尚无与电极物质作用的痕迹。

## 2 结果与讨论

### 2.1 实验结果

实验测得的两个电池电动势值列于表1。

将实验数据进行回归，得回归方程：

$$E = 261 - 0.143T \text{ (mV)} \quad (2)$$

相关系数  $R = -0.996$ 。将式(2)代入式(1)即得 $\text{La}_2\text{O}_3 \cdot 4\text{PbO}$ 的标准生成自由能为：

$$\Delta G^\circ = -202000 + 114T \text{ (J/mol)}$$

电池电动势与温度的关系见图4。

### 2.2 误差讨论

实验误差主要由温度测定、电动势测量和测量仪器本身精度决定。

其中温度引起的误差按  $E \sim T$  关系  $\Delta E = -0.254\Delta T$  折合成电动势误差，再由  $\Delta G^\circ \sim E$  关系  $\Delta(\Delta G^\circ) = -nF\Delta E$  折算成自由能误差。电动势测量和测量仪器引起的自由能误差可以直接由  $\Delta(\Delta G^\circ) = -nF\Delta E$  算出。计算结果为±2030 J/mol。

表1 原电池电动势测定结果

T/K	873	923	973	1013	1053	1103	1153
$E_1/\text{mV}$	130	124	119	114	104	96	90
$E_2/\text{mV}$	132	125	118	112	106	98	91

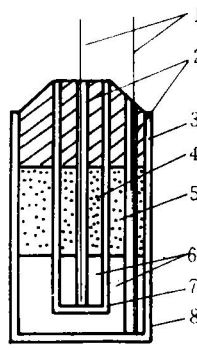


图2 电池结构

1—电极引线；2—细刚玉管；3—高温水泥；4— $\text{PbO}$ ；5— $\text{La}_2\text{O}_3 + \text{La}_2\text{O}_3 \cdot 4\text{PbO}$ ；6— $\text{Pb}$ ；7—固体电解质管；8—刚玉坩埚

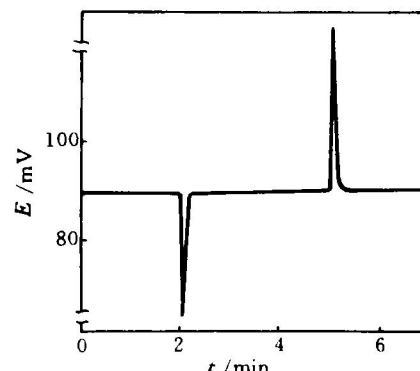


图3 极化曲线

### 3 结论

用  $\text{ZrO}_2(\text{Y}_2\text{O}_3)$  固体电解质构成原电池，在 $873\sim 1153\text{ K}$  温度区间测定了反应  $\text{La}_2\text{O}_{3(s)} + 4\text{Pb}_{(s)} = \text{La}_2\text{O}_3 \cdot 4\text{PbO}_{(s)}$  的自由能变化，即复合氧化物  $\text{La}_2\text{O}_3 \cdot 4\text{PbO}$  的标准生成自由能，其值为：

$$\Delta G^\circ = -202000 + 114T (\text{J/mol})$$

#### 参考文献

- 1 Warzee M H et al. J Amer Ceramic Society, 1965, 48(1): 15—17.

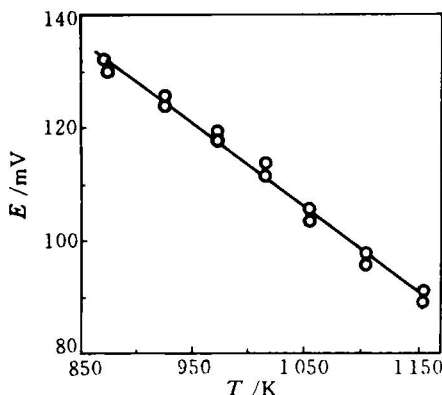


图4 电动势与温度的关系

(上接38页)

表3 不同搅拌转速下 APT 的成核特征参数

搅拌转速 /rad · s <sup>-1</sup>	$\eta_{end}$ (wt.-%)	$t_{max}$ /min	$t_{end}$ /min	$L_{max}$ / $\mu\text{m}$
$2\pi$	10.6	1.3	7.8	84
$3\pi$	10.2	1.2	12.3	57.5

搅拌转速 /rad · s <sup>-1</sup>	$N_{max}$ ( $10^7$ 粒 / $\text{dm}^3$ · min)	$\sum_{L_{end}}^{L_{max}} N_L$ ( $10^7$ 粒 / $\text{dm}^3$ )	$T_0 \sim T_{end}$ / C
$2\pi$	4.38	7.32	91~92
$3\pi$	8.0	29.6	91~92

注：其他试验条件同图6。

表4 不搅拌条件下 APT 的成核速率

$t$ / min	8.1	56.9	101.2	167
$\dot{N}$ ( $10^7$ 粒 / $\text{dm}^3 \cdot \text{min}$ )	0.24	1.56	4.54	7.42

注：其他试验条件同图6。

### 4 结论

(1) 本文将最终产品粒度组成与晶体生长速率结合，定量地评定了 APT 的成核速率。

(2) APT 成核速率呈现迅速上升、缓慢下降的现象是成核期过饱和生成与消失同时并存的固有特征，也与连生体形成和二次成核有关。

(3) 试验条件范围内，APT 蒸发结晶成核期为 $6.8\sim 12.3\text{ min}$ ，成核速率最大值出现时间为 $1.1\sim 2.6\text{ min}$ ，最大成核速率为 $1.66\sim 10.37 \times 10^7$  粒 /  $\text{dm}^3 \cdot \text{min}$ ，生成晶核的总数在 $4.74\sim$

$36.02 \times 10^7$  粒 /  $\text{dm}^3$ ，成核期结束时的固相析出率在 $7.6\sim 20.4\text{ wt. \%}$  左右。

(4) 升高  $\text{NH}_4\text{Cl}$  和  $\text{WO}_3$  浓度，提高升温速度和搅拌速度，使成核期延长、成核速率最大值出现时间缩短，最大可能粒径减小，最大成核速率和成核总数增加。除强烈搅拌下稍有下降外，成核期结束时的固相析出率均增大。其中  $\text{NH}_4\text{Cl}$  浓度对成核期和成核期结束时的固相析出率影响较明显。而搅拌和  $\text{WO}_3$  浓度对成核总数和最大可能粒径的影响更显著。

(5)  $\text{NH}_4\text{Cl}$  掺入不仅导致多相平衡移动、APT 溶解度下降，也使成核期过饱和生成和消失速度加快。快速搅拌引起 APT 成核中后期二次晶核大量产生。

#### 参考文献

- 1 Nielsen A E. Kinetics of Precipitation. Pergamon Press, 1964. 350.
- 2 Ottens E G, Botsaris G D. J Cryst Growth, 1972, 13/14: 506—509.
- 3 Hanna J D, Hileman O E. Can J Chem, 1972, 50(17): 2859—2864.
- 4 Velazquez J A, Hileman O E. Can J Chem, 1970, 48 (18): 2896—2899.
- 5 万林生等. 中国有色金属学报, 1994, 4(4): 41—45.
- 6 Garabedian H, Srickland-Constable R F. J Cryst Growth, 1972, 13/14: 506—509.